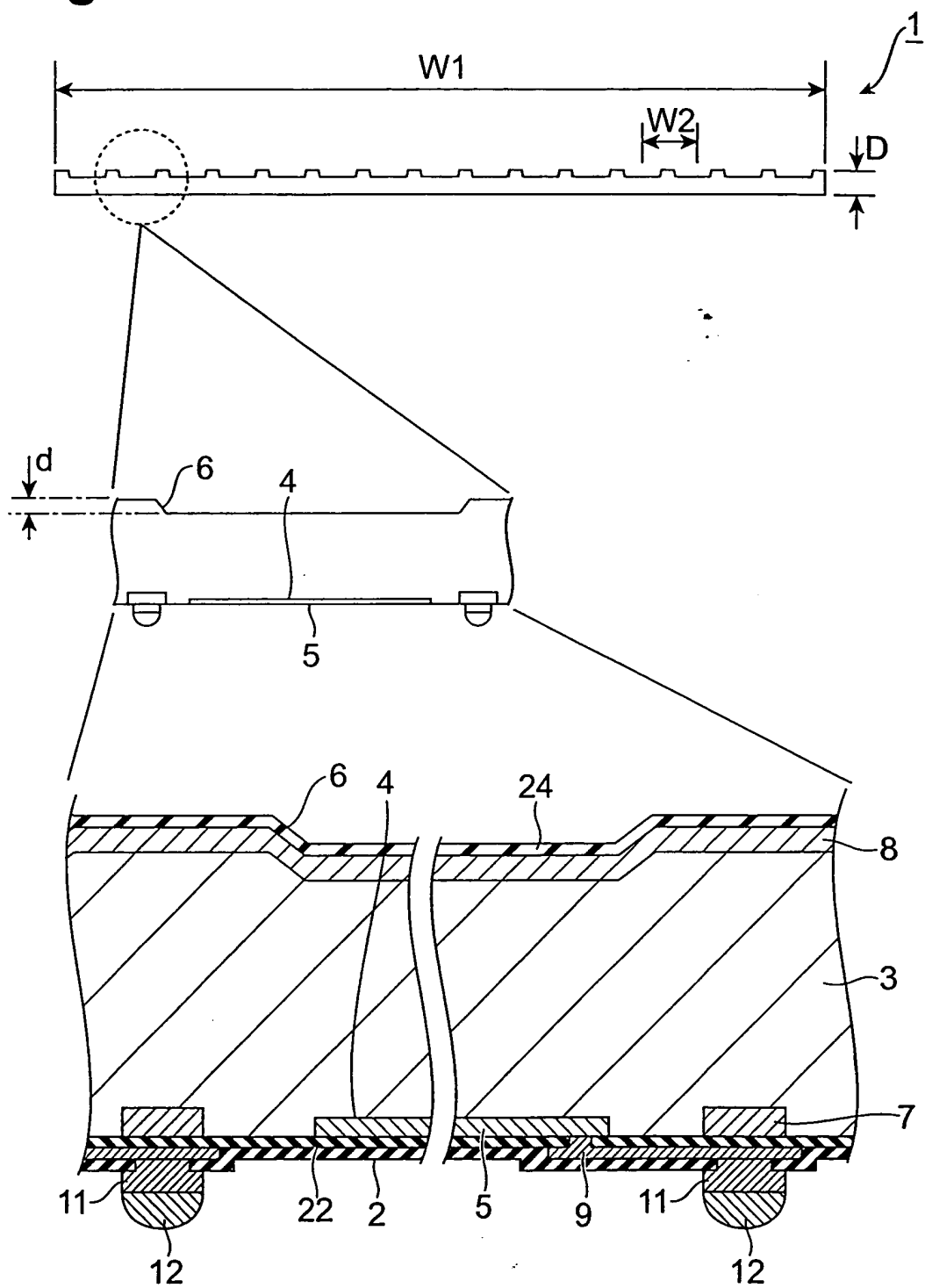


Fig.1

Fig.2

FP04-0011-00

3/27

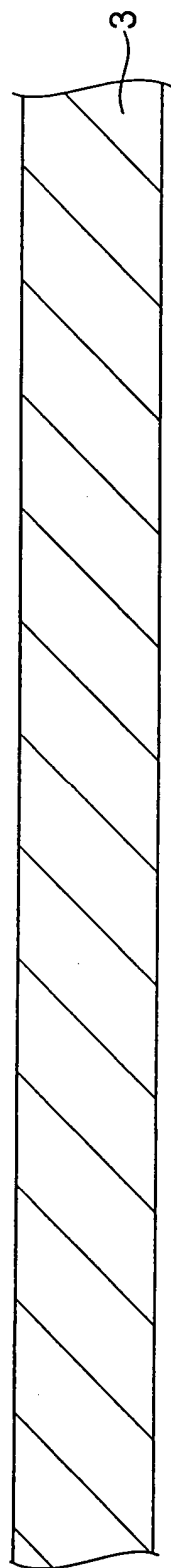


Fig.3

4/27

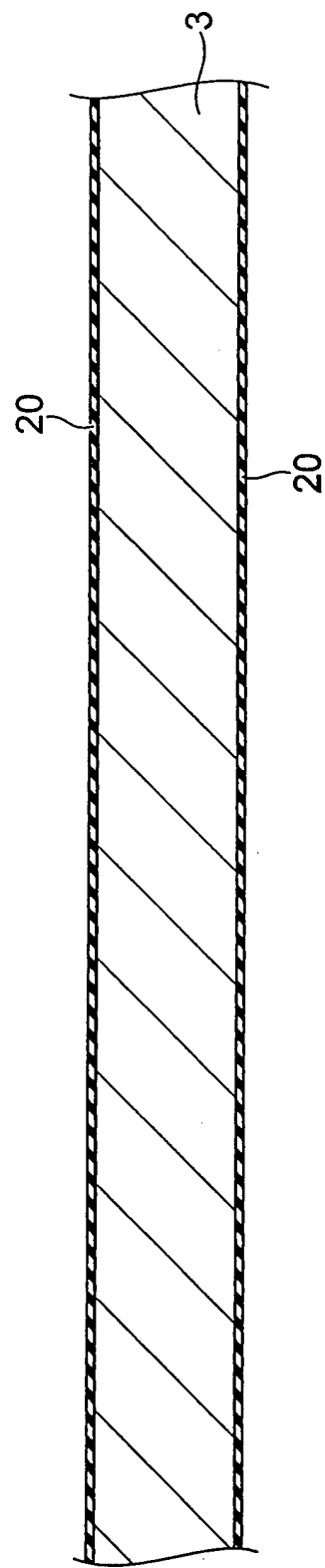


Fig.4

5/27

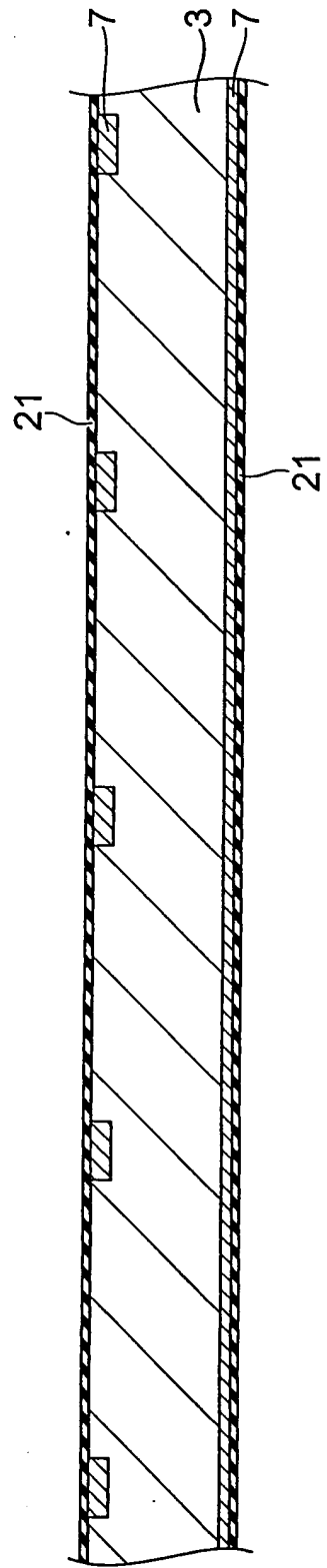


Fig. 5

6/27

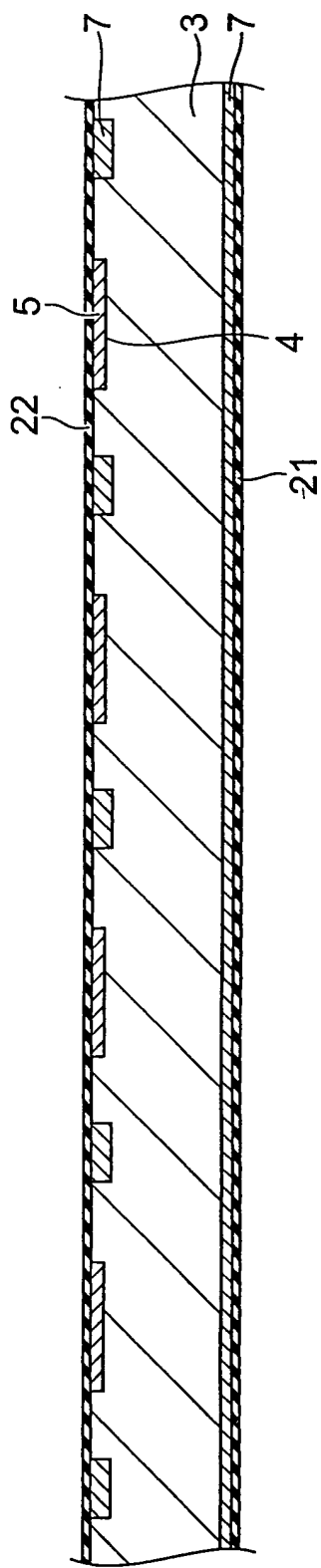


Fig.6

7/27

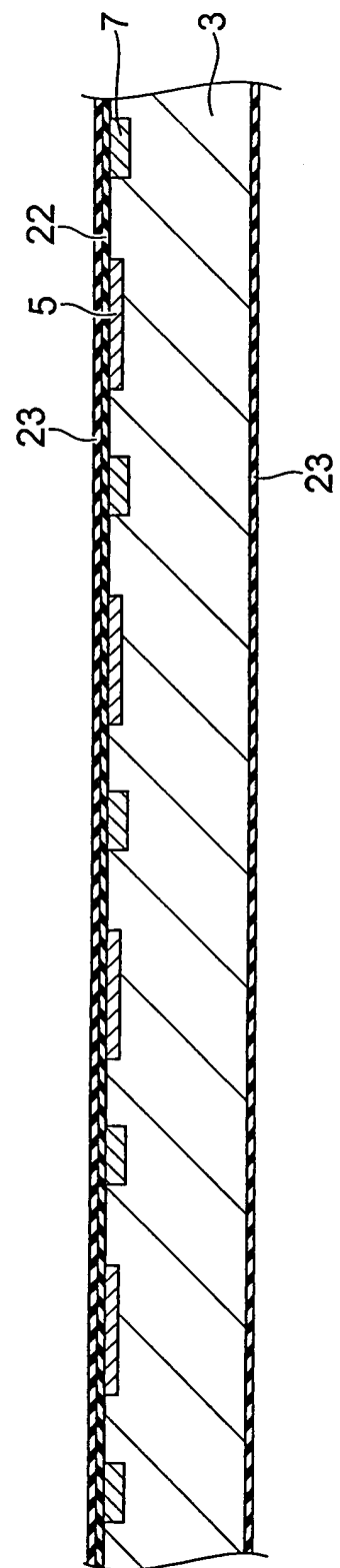


Fig. 7

FP04-0011-00

8/27

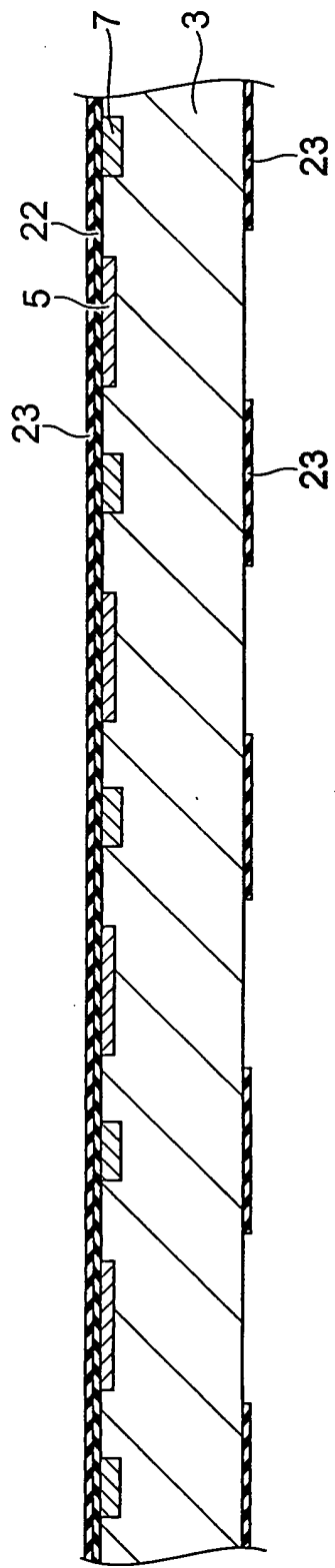


Fig. 8

9/27

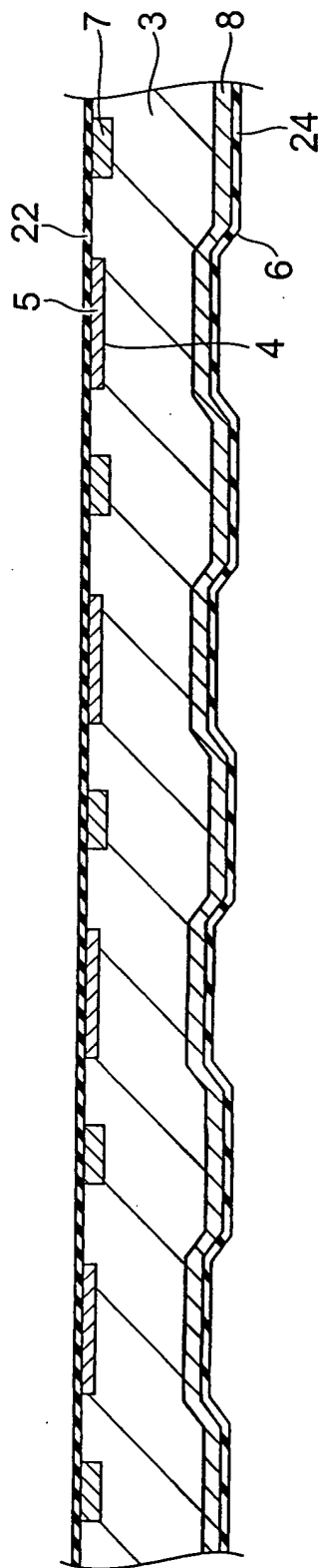


Fig.9

10/27

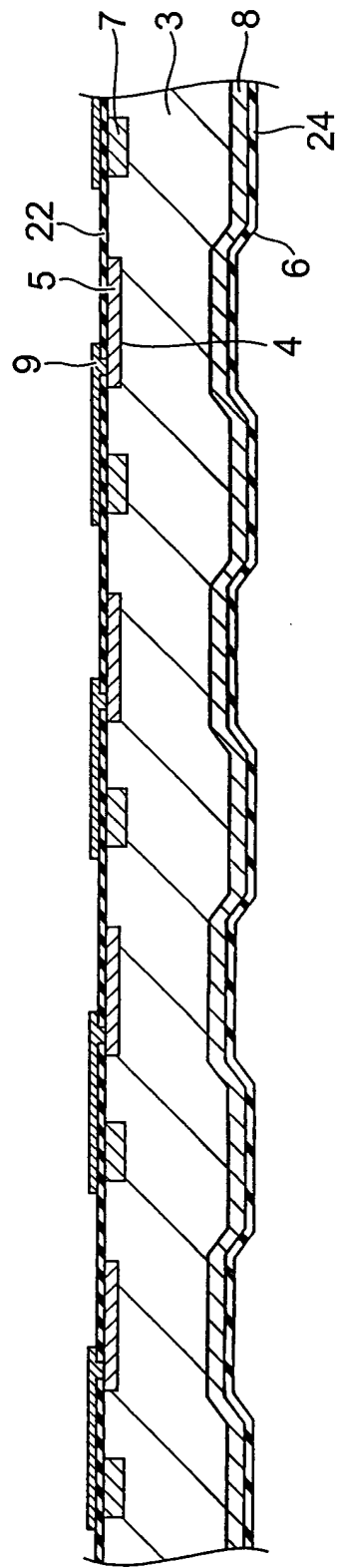


Fig.10

11/27

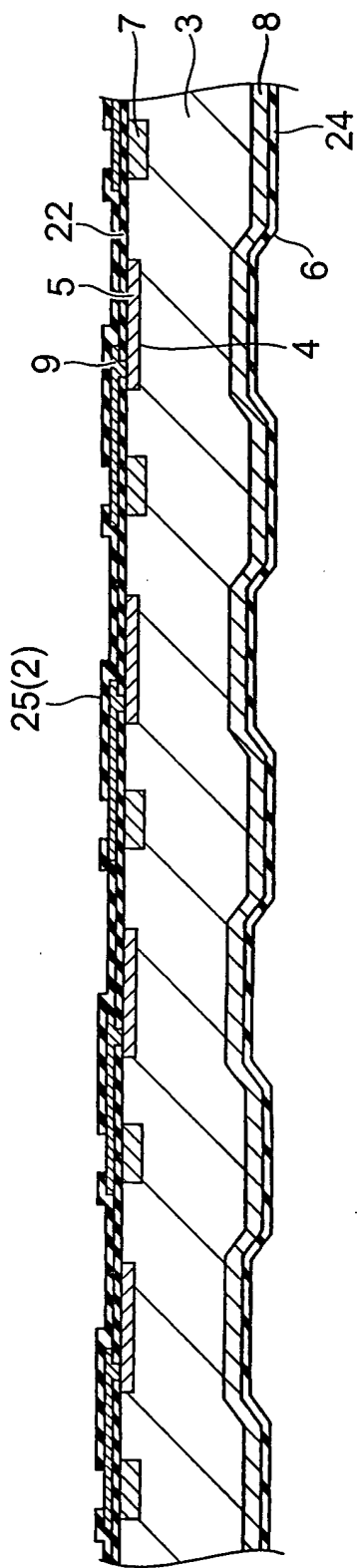


Fig. 11

12/27

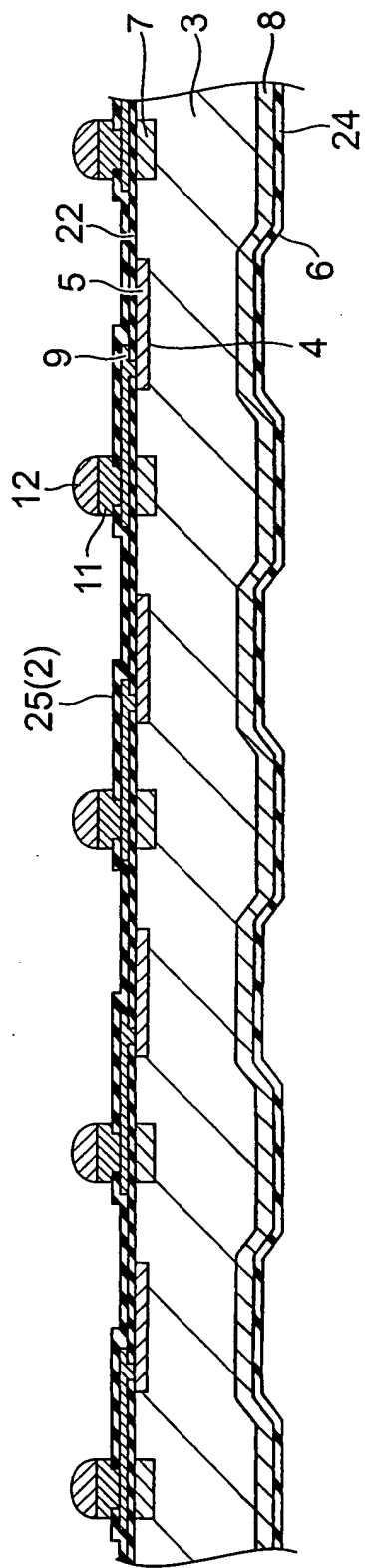


Fig. 12

Fig.13A

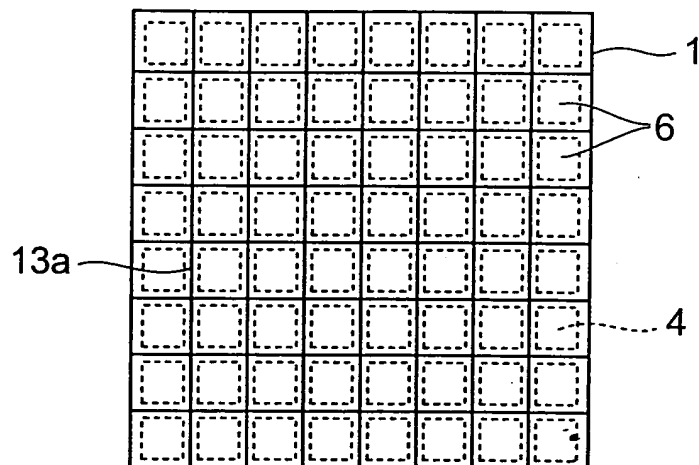


Fig.13B

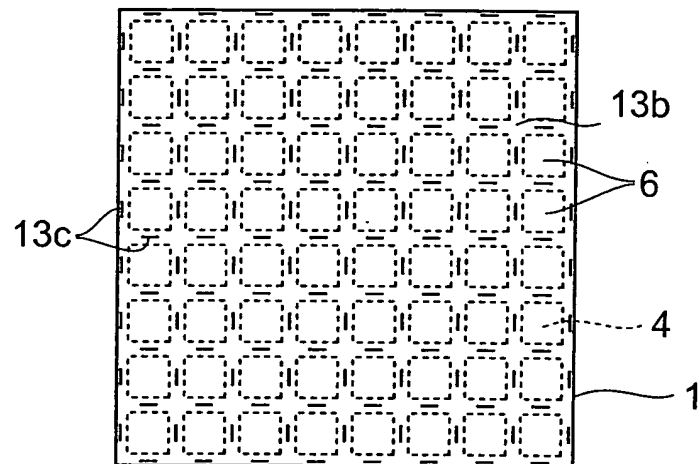


Fig.13C

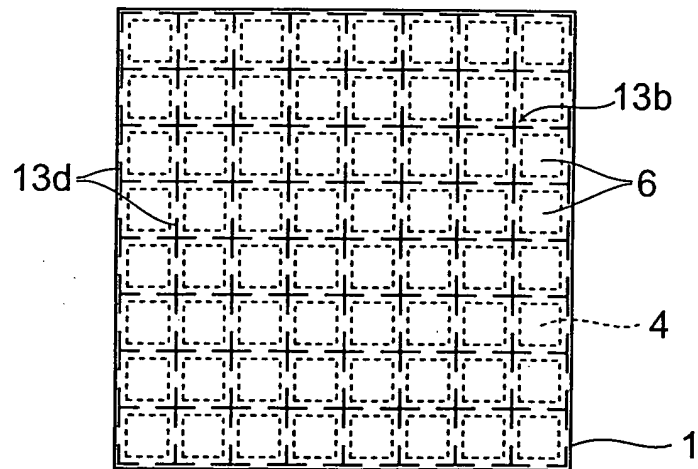
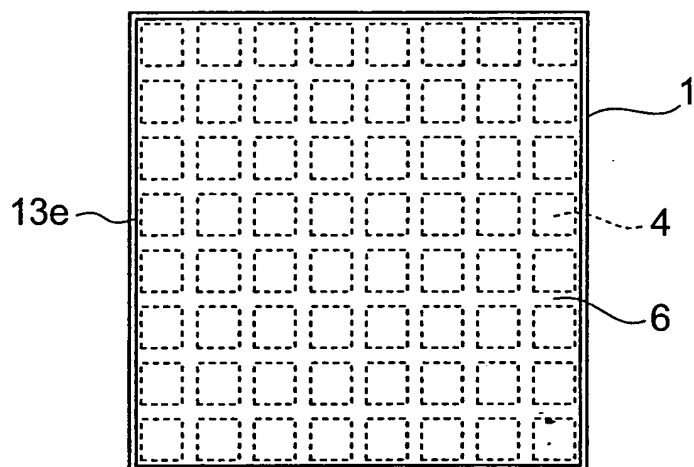
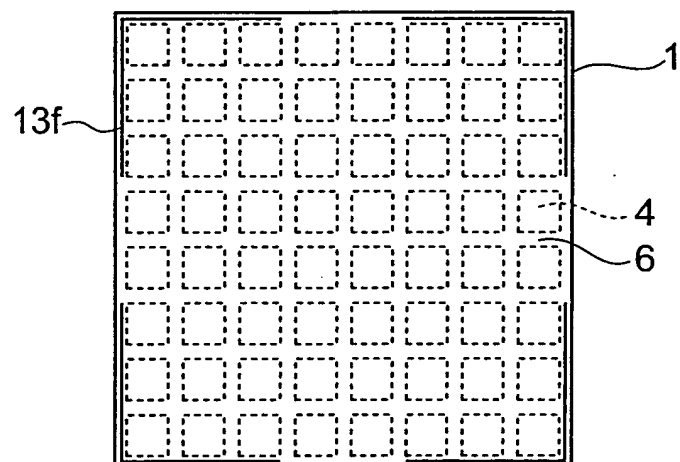
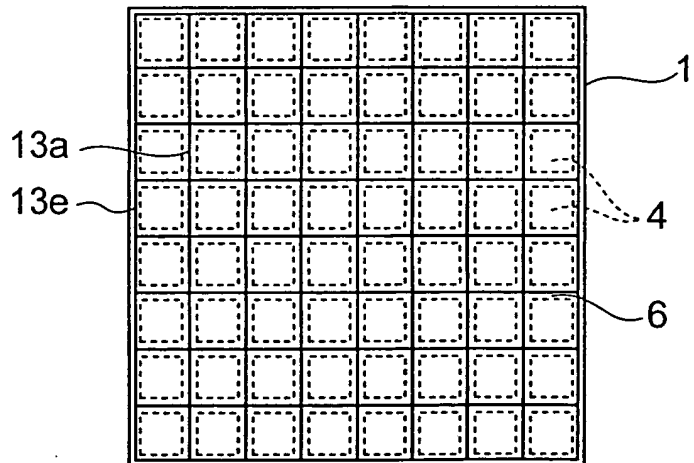


Fig.14A**Fig.14B****Fig.14C**

15/27

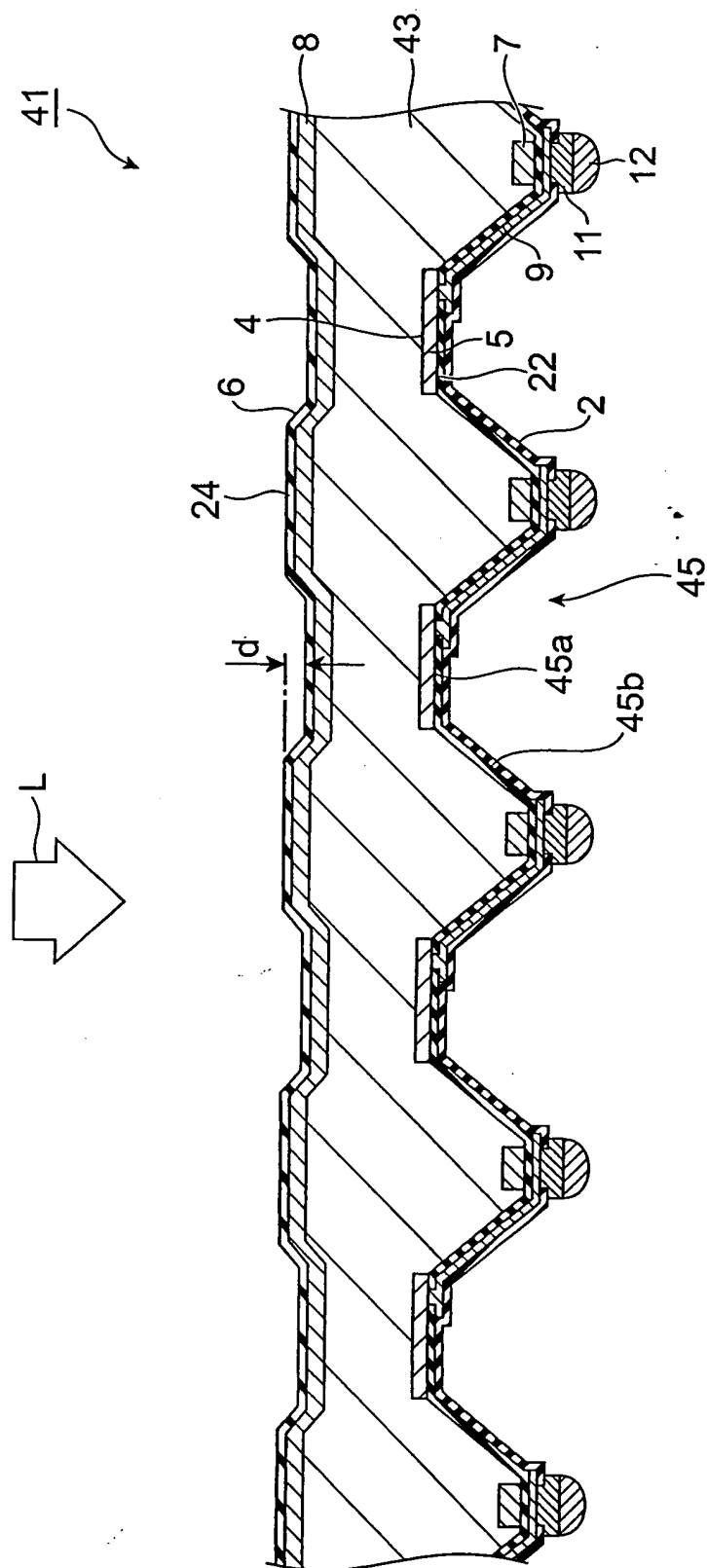
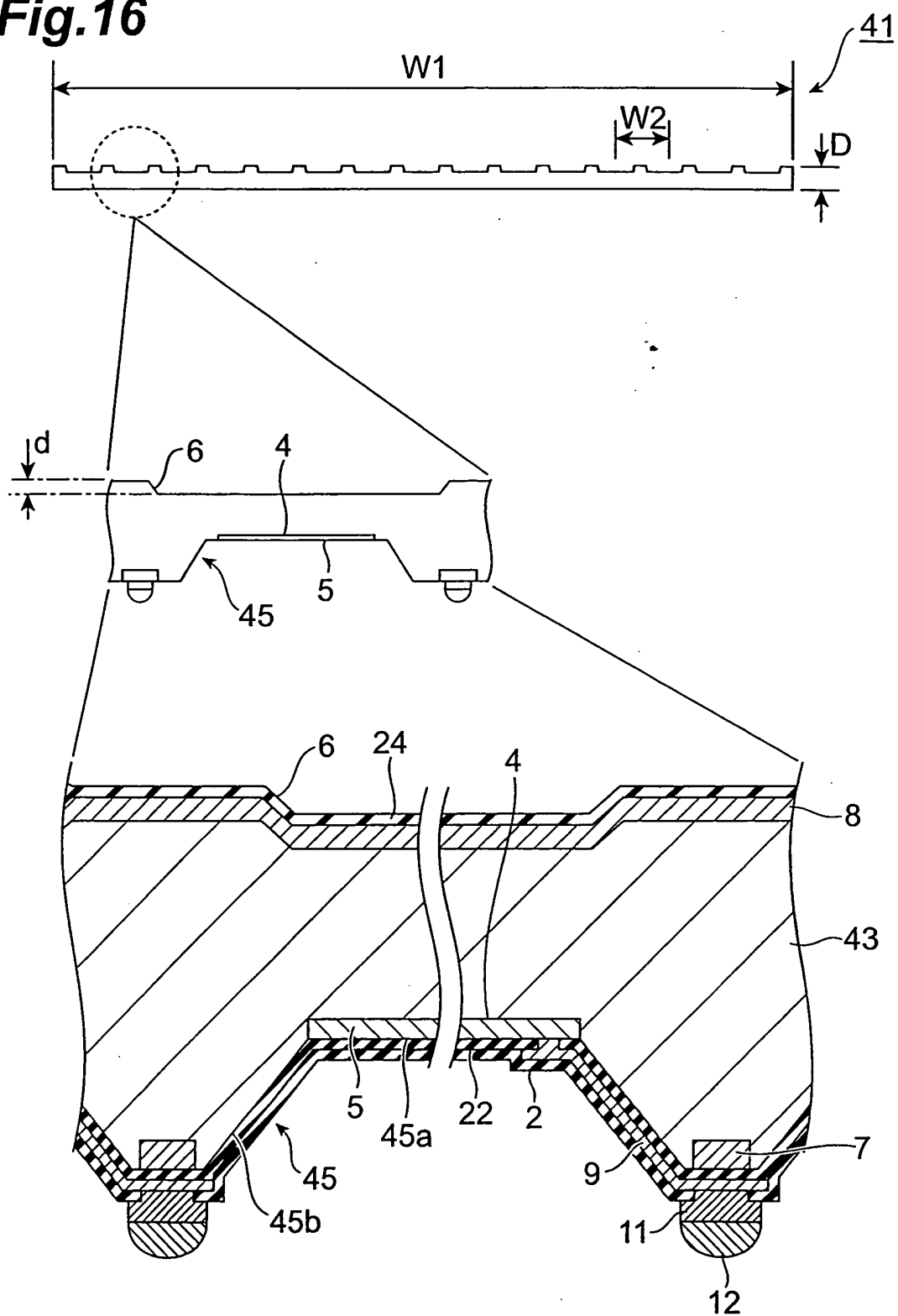


Fig. 15

Fig.16

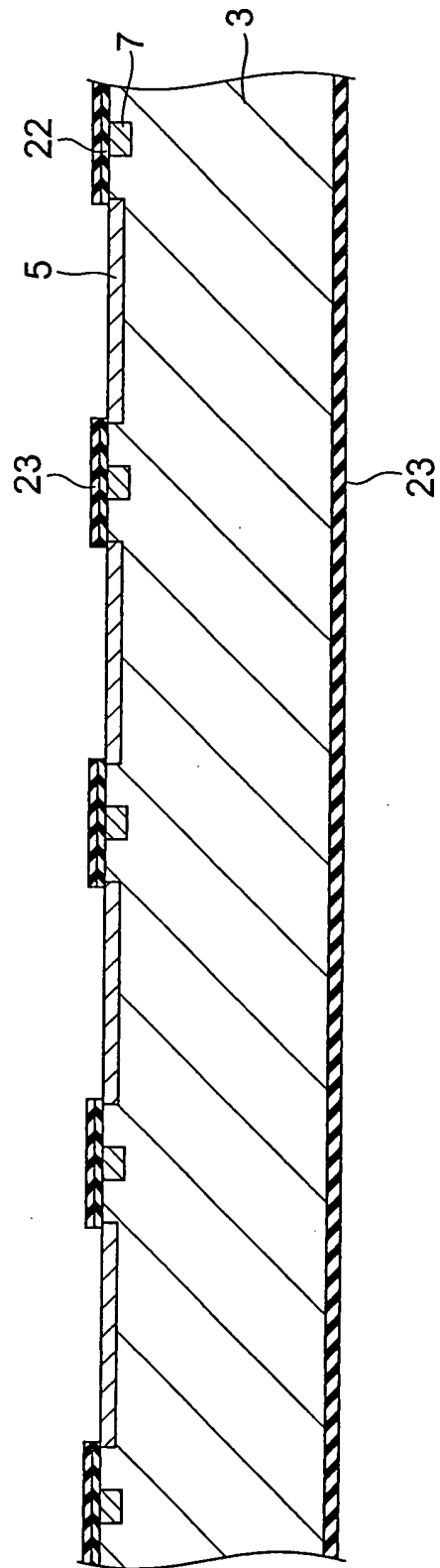


Fig.17

18/27

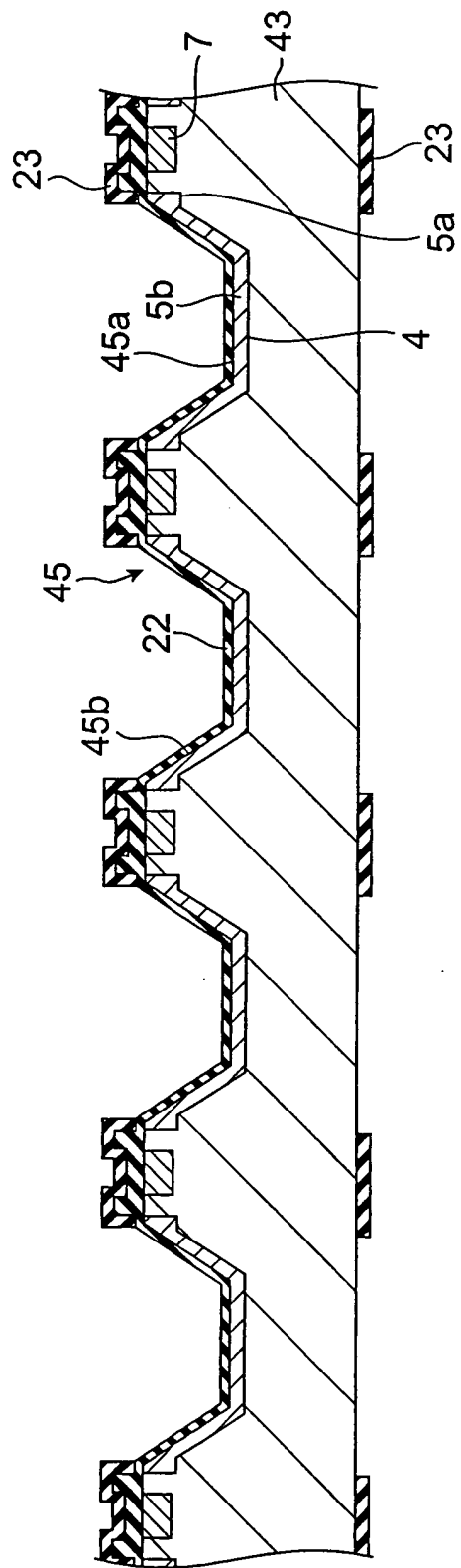


Fig. 18

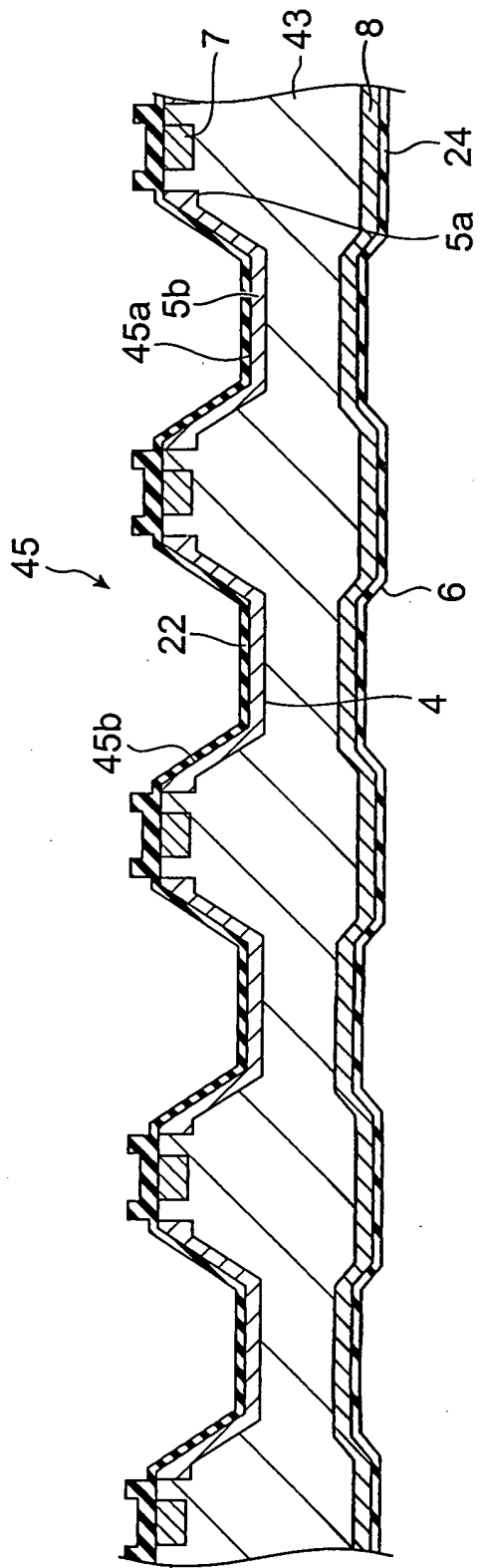


Fig. 19

20/27

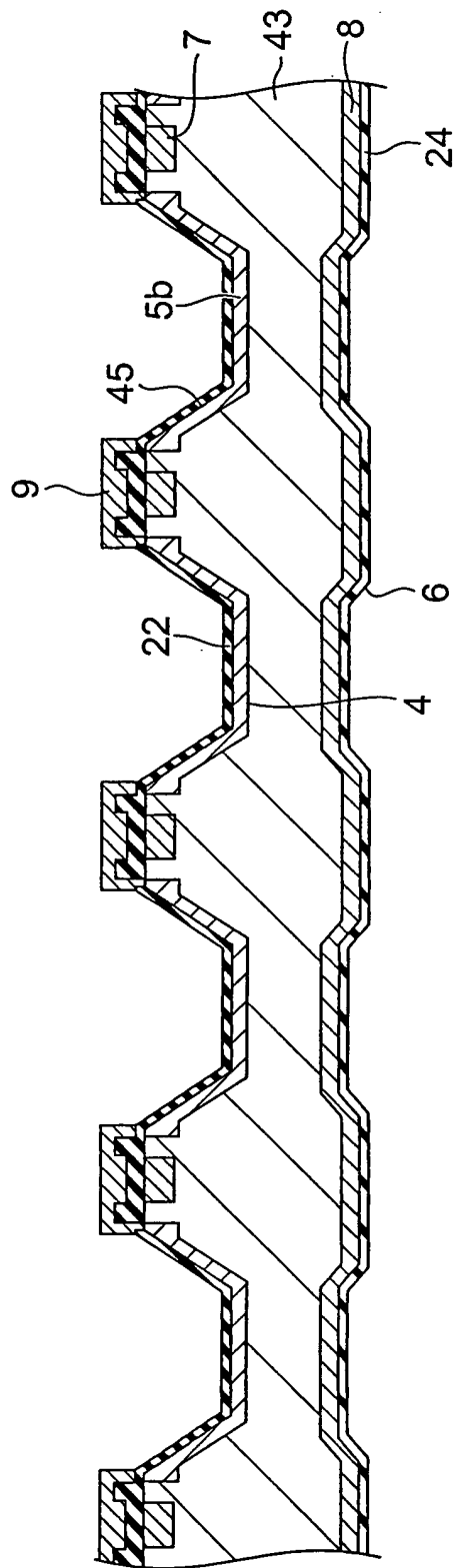


Fig.20

21/27

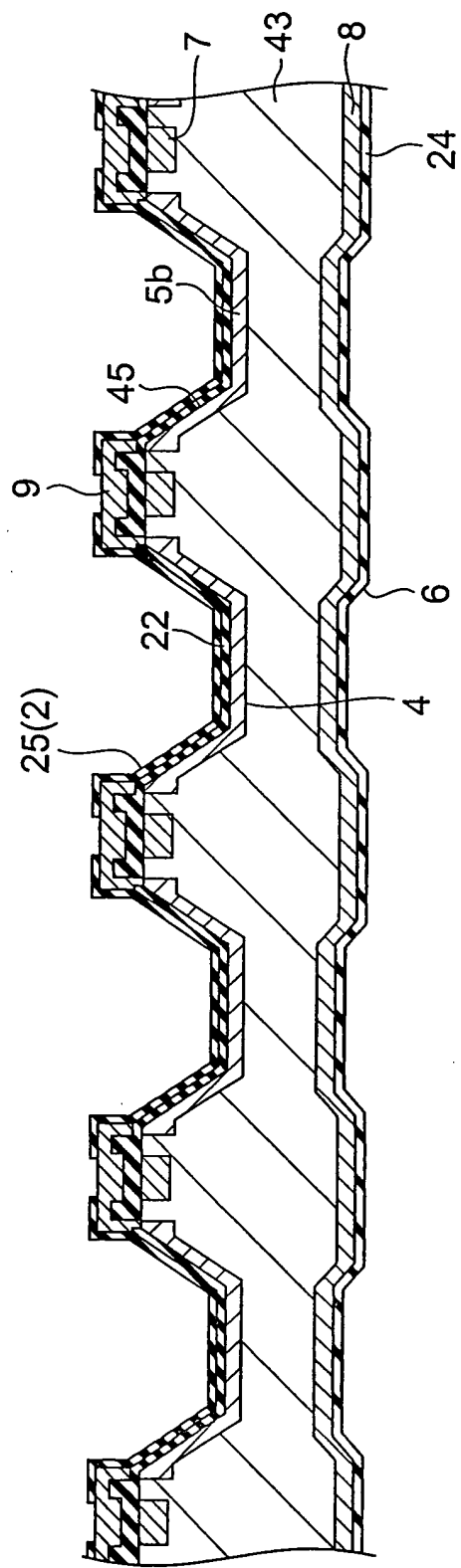


Fig.21

22/27

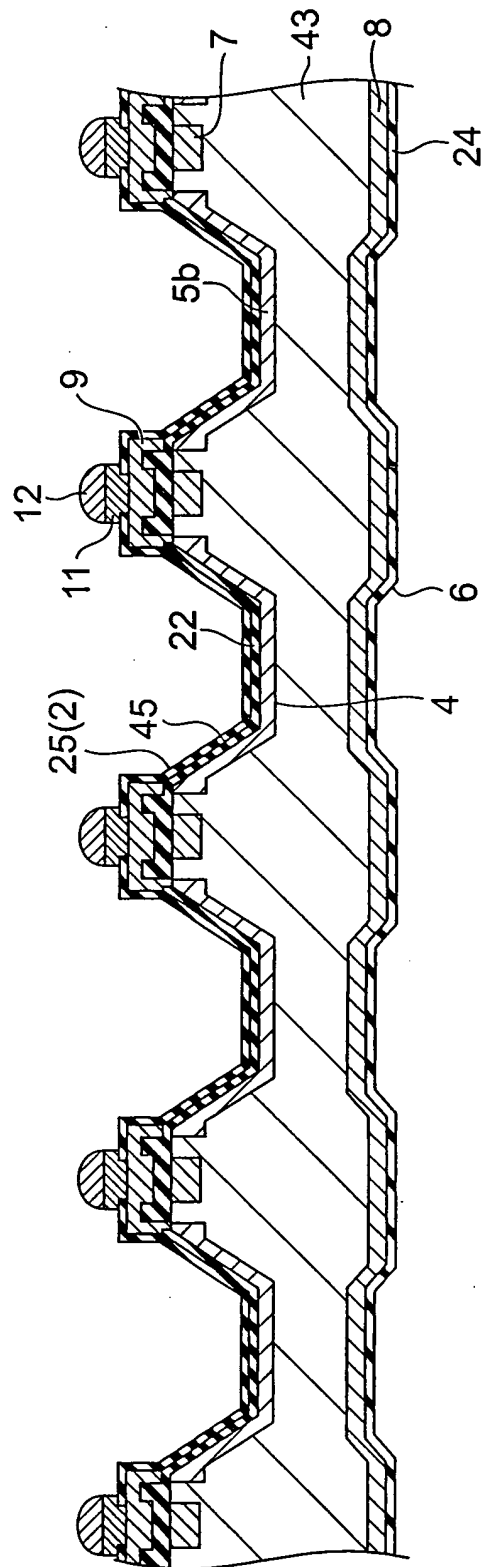


Fig. 22

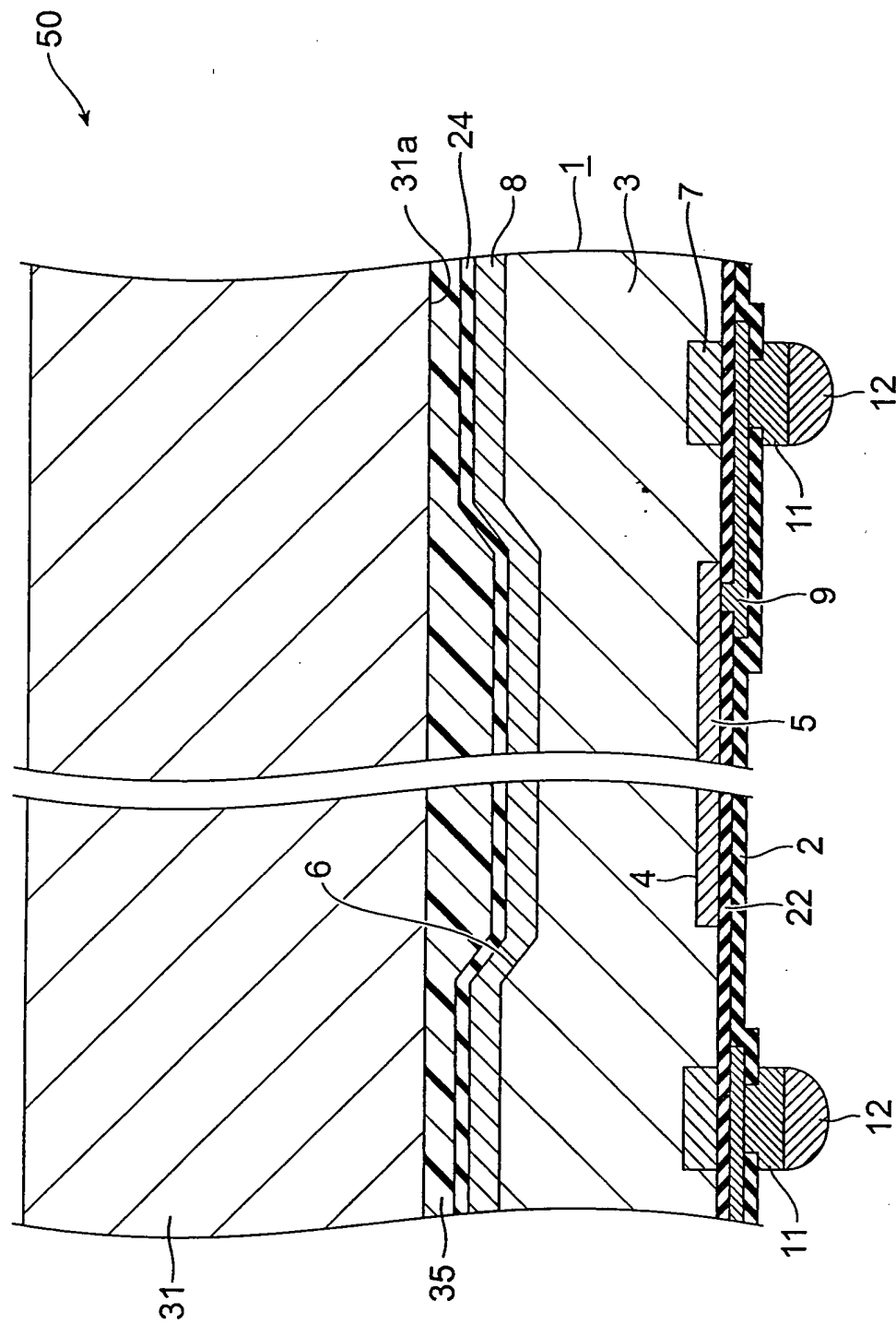


Fig.23

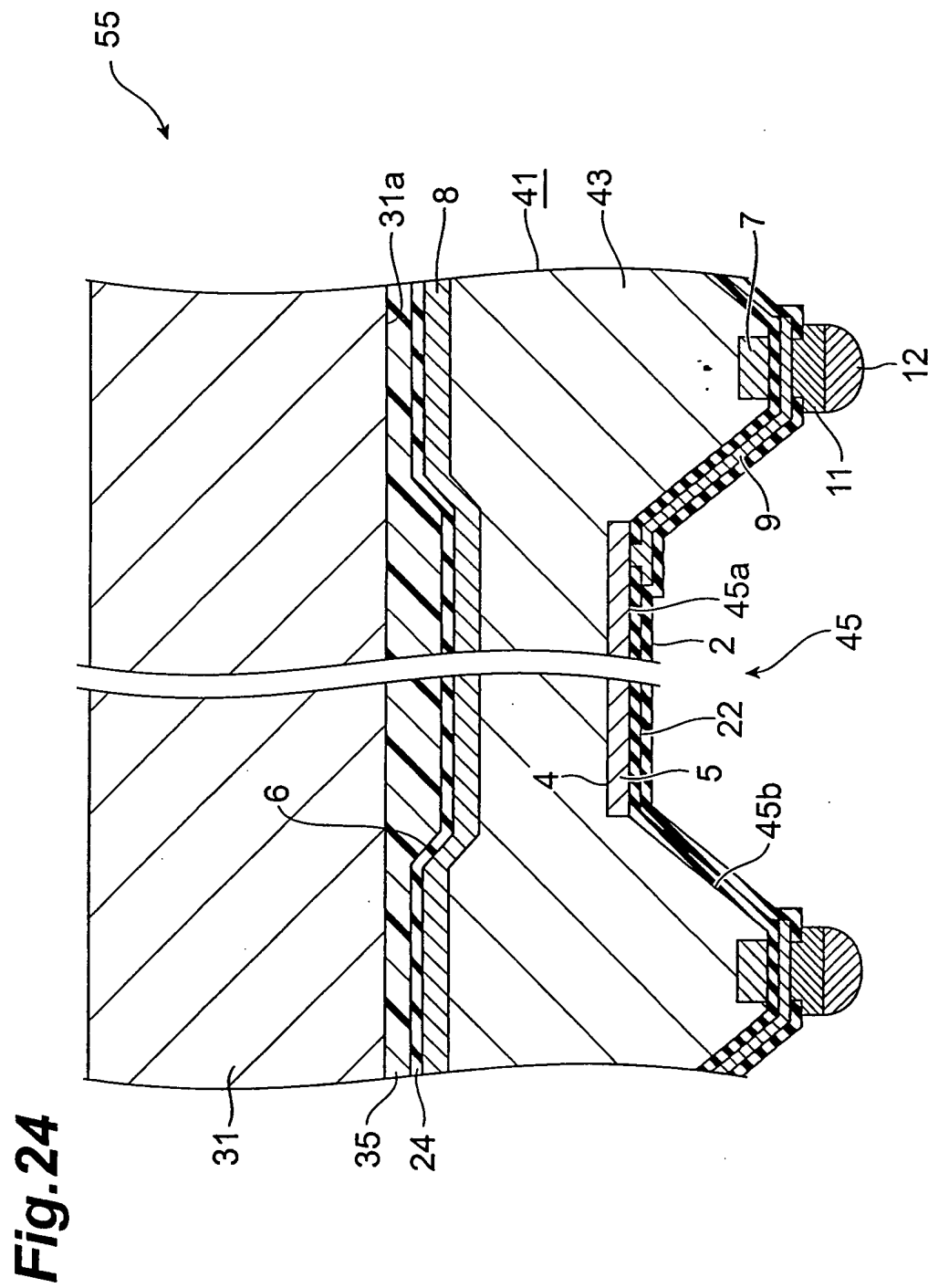


Fig. 24

Fig. 25A

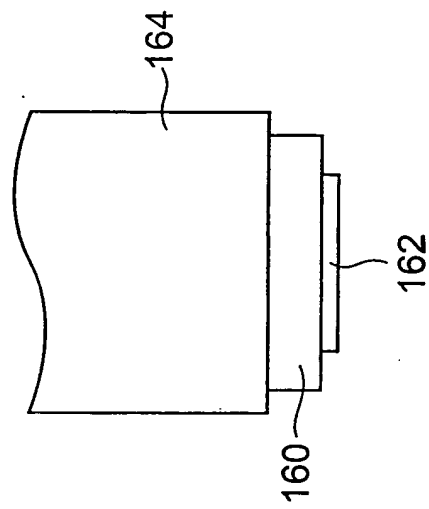
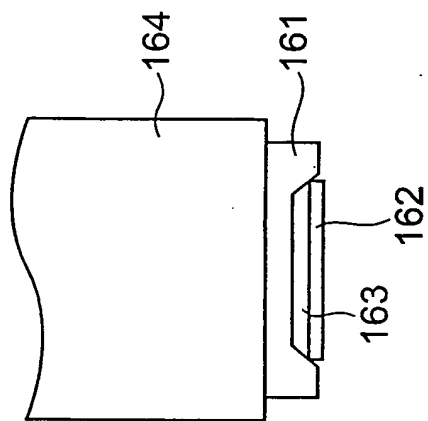


Fig. 25B



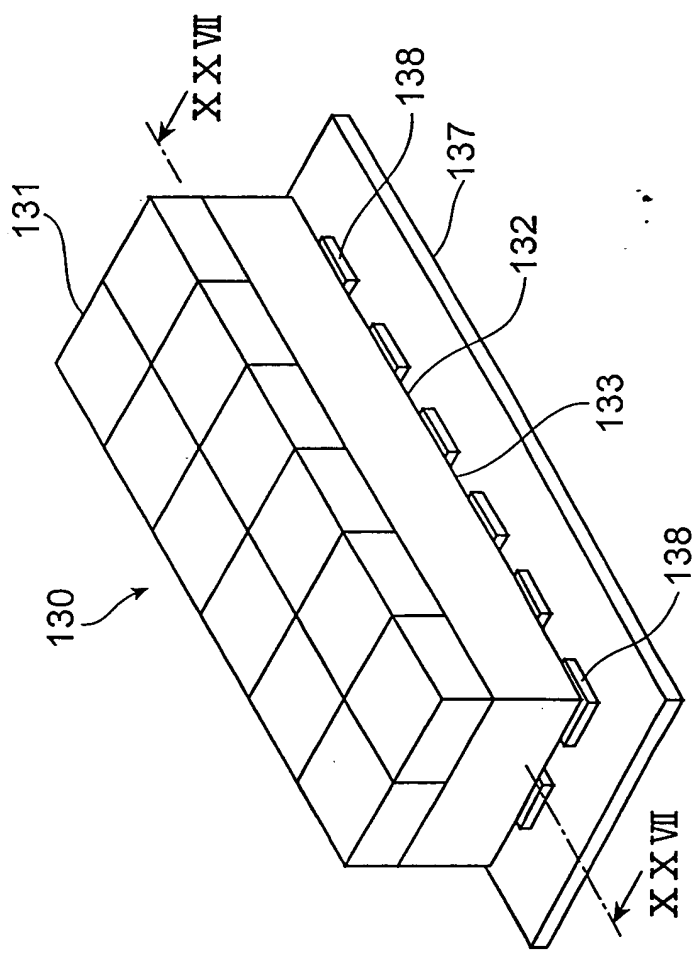


Fig. 26

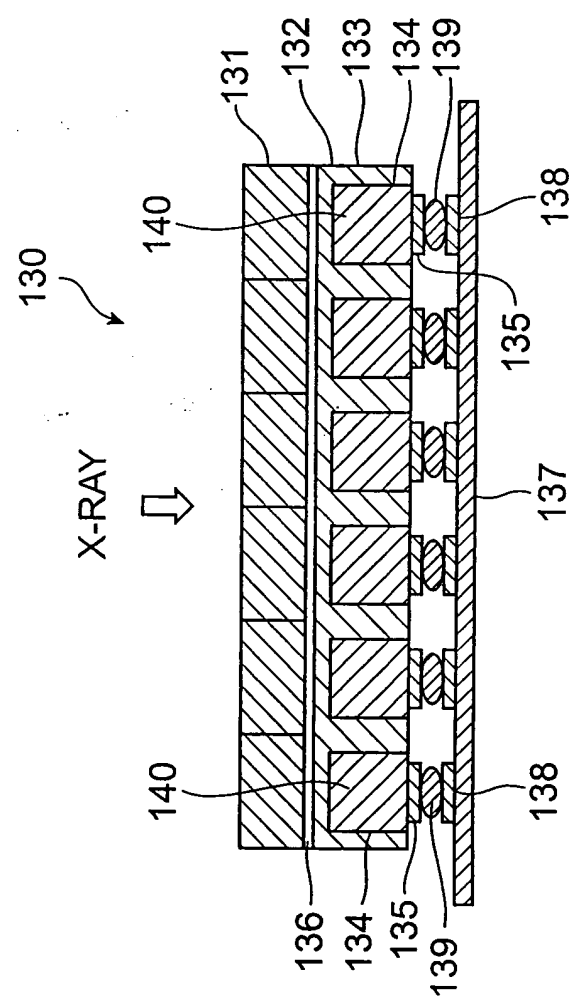


Fig.27